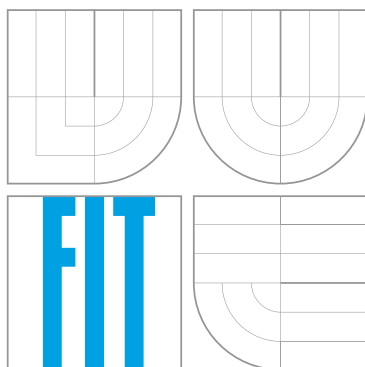


# VYSOKÉ UČENÍ TECHNICKÉ V BRNĚ FAKULTA INFORMAČNÍCH TECHNOLOGIÍ



Paralelizace - Algoritmus pro určení hranové konektivity grafu

# Obsah

<b>1</b>	<b>Úvod</b>	<b>2</b>
<b>2</b>	<b>Teoretický úvod</b>	<b>2</b>
2.1	Sekvenčný algoritmus od Pánov Hiroshi Nagamochi a Toshihide Ibaraki . . . . .	2
2.1.1	Teoretická zložitosť algoritmu . . . . .	3
2.2	Paraléný algoritmus na zisťovanie hranovej konektivity . . . . .	3
<b>3</b>	<b>Návrh</b>	<b>4</b>
3.1	Sekvenčný algoritmus . . . . .	4
<b>4</b>	<b>Implementácia</b>	<b>4</b>
4.1	Sekvenčný algoritmus . . . . .	4
4.2	Paralénny algoritmus . . . . .	4
<b>5</b>	<b>Testovanie</b>	<b>5</b>
5.1	Sekvenčný algoritmus . . . . .	5
5.2	Paralénny algoritmus . . . . .	6
5.3	Porovnanie algoritmov . . . . .	8
5.4	Zdôvodnenie nameraných zložítostí . . . . .	8
<b>6</b>	<b>Záver</b>	<b>8</b>
<b>A</b>	<b>Príklad paralelného spracovania susedných uzlov procedúrou Forest</b>	<b>10</b>
<b>B</b>	<b>Príklad paralelného spracovania nesusediacich uzlov procedúrou Forest</b>	<b>11</b>

# 1 Úvod

Projekt sa venuje algoritmu [1] na určovanie hranovej konektivity v sekvenčnej a paralelizovanej variante.

## 2 Teoretický úvod

### 2.1 Sekvenčný algoritmus od Pánov Hiroshi Nagamochi a Toshihide Ibaraki

*Nasledujúca sekcia čerpá z publikácie [1].*

Algoritmus v porovnaní s ostatnými algoritmami pristupuje rozdielne k určovaniu hranovej konektivity  $G$ . Algoritmus analyzuje všetky vhodne vygenerované podgrafy  $G$ , ktoré vzniknú opakovanou kontrakciou dvoch uzlov, ktoré spájajú vybratú hranu. Výber hrany ku kontrakciám sa určuje procedúrou 1.

---

**Algoritmus 1** Forest( $G, n_{random}, \delta(G)$ )

---

```
Label all nodes and all edges as unscanned
while exists unscanned node do
  pick unscanned node  $n$  with largest  $r$ 
   $i = 1$ 
  for all nodes  $t$  adjacent to  $n$  by unscanned edge  $e$  do
     $E_i = E_i \cup e$ 
     $r_t = r_t + c(e)$ 
    mark  $e$  scanned
     $i = i + 1$ 
  end for
  mark  $n$  scanned
end while
return an arbitrary edge from  $E_{\delta(G)}$ 
```

---

Táto procedúra má na vstupe  $G$  a náhodne vybratý uzol  $n_{start}$ . Postupne spracuje uzly, ktorým priraduje hodnotu  $r$ . Spracovanie hrany uzlu spočíva vo inkrementácii hodnoty  $r$  o hodnotu kapacity hrany  $c(e)$  a v zahrnutí hrany  $e$  do množiny  $E_i$ , pričom  $i$  značí poradie v akom bola hrana spracovaná v danom uzle.

Hrana vybratá ku kontrakciám je následne definovaná ako:

$$e_{contract} \in E_{\delta(G)} \tag{1}$$

Pričom  $E_{\delta(G)} = E_i$  kde  $i = \delta(G)$  a  $\delta(G)$  je hodnota minimálnej kardinality spomedzi všetkých uzlov v  $G$ .

Samotný algoritmus zisťovania hranovej konektivity  $G$  je založený na opakovanom volaní procedúry Forest a postupnej kontrakcií bodov na základe navrátenej hrany. Postup volania procedúry Forest a spôsob zisťovania hranovej konektivity je naznačený v procedúre 2.

---

**Algoritmus 2** EdgeConnectivity( $G$ )

---

```
 $G' = G$ ,  $k = \delta(G)$ , pick a random node  $n_{random}$ 
while  $|V'| > 2$ ,  $G' = (V', E')$  do
    call Forest( $G, n_{random}, k$ )
    let  $e$  be edge returned by Forest( $G, n_{random}$ )
    let  $G'$  be graph created by contraction by edge  $e$ 
    analyze  $\delta(G')$  and set  $k = \min(k, \delta(G'))$ 
end while
return  $k$ 
```

---

Hľadná hodnota hranovej konektivity  $\lambda(G)$  je následne definovaná ako:

$$\lambda(G) = \min(\delta(G^1), \delta(G^2), \dots, \delta(G^{|V|-1})) \quad (2)$$

Pričom  $G^i$  značí podgraf, ktorý vznikne kontrakciou  $G^{i-1}$  na základe vybranej hrany  $e$ .

Uvedený algoritmus sa dá upraviť k získaniu minimálneho rezu, resp. maximálneho toku v  $G$ . V projekte sa zaoberáme len problematikou zisťovania hodnoty hranovej konektivity  $G$ .

### 2.1.1 Teoretická zložitosť algoritmu

Procedúra Forest je volaná práve  $|V| - 1$  krát. Časovú zložitosť kontrakcie dvoch bodov predpokladáme za konštantnú a zanedbateľne malú. V procedúre Forest sa prejde každým vrcholom práve jeden krát. Výber nasledujúceho uzlu k spracovaniu je realizovný prioritnou haldou. Za predpokladu použitia fibbonaciho haldy je inkrementácia hodnoty  $r_i$  realizovaná v priemere s konštantnou časovou zložitou  $\Theta(1)$ . V každom kroku procedúry Forest dochádza k zmenšovaniu vytvorenej haldy za použitia operácie s priemernou časovou zložitou  $\Theta(\log(n))$ . Taktiež v každom volaní procedúry Forest sa analyzuje graf menší oproti predošlému o jeden vrchol a minimálne jednu hranu. Najhoršia teoretická časová zložitosť je  $O(|V||E|)$  [1, str. 59].

## 2.2 Paralelný algoritmus na zisťovanie hranovej konektivity

Možnosti paralelizovania predošlého algoritmu nie sú zrejmé. Problémom je najmä procedúra Forest, v ktorej sa ‘spracujú’ iteratívne všetky uzly práve jeden-krát.

V prípade paralelizovania tohoto ‘spracovania’ uzlov sa k spracovaniu môžu vybrať dva susedné uzly, čo by viedlo k tomu, že ich spoločné hrany by patrili do rozdielnych množín  $E_i$ . Čo by potenciálne mohlo viesť k zostaveniu prázdnej množiny hrán  $E_{\delta(G')}$ . Dôkaz predošlého tvrdenia je uvedený na príklade v prílohe 1.

V prípade, ak by sa k paralelnému spracovaniu uzlov vybrali také  $n$ -tice uzlov ktoré nie sú susedné. Znamenalo by to isté zväčšenie zložitosti algoritmu a taktiež nie je zaručená neprázdnosť množiny  $E_{\delta(G')}$ . Dôkaz je uvedený na príklade v prílohe 2.

Jedinou objavenou možnosťou paralelizovania uvedeného algoritmu, je paralelizovanie samotného volania procedúry Forest. Hlavné vlákno v prvom kroku spustí vlákno pre sekvenčný výpočet procedúry Forest a dopredne predikuje, aká hrana bude týmto volaním navrátená. Postupne spúšťa vlákna, ktorým na vstup generuje grafy  $G^{1*}$ . Pričom grafy  $G^{1*}$  sú výsledkom predikcie kontrakcie hrán. V momente, keď skončí vlákno pre sekvenčný výpočet procedúry Forest hlavné vlákno analyzuje, či už nepredikoval danú kontrakciu. Následne ukončí beh všetkých

ostatných vlákien a v prípade, ak sa mu podarilo predikovať navrátenú kontrakciu označí toto vlákno za sekvenčný výpočet pre nasledujúcu iteráciu.

Možnosti predikcie kontrakcie sú rôzne a ich popis presahuje možnosti tejto práce.

Navrhované riešenie paralelizácie je z hľadiska implementácie príliš náročné a jeho prínos z hľadiska zložitosti algoritmu nejasný. Rozhodne by sa navrhované riešenie paralelizácie malo experimentálne otestovať. Bohužiaľ rozsah tohoto predmetu nám podrobnejšiu analýzu problematiky neposkytuje.

Iné možnosti paralelizácie tohoto algoritmu sa nám nepodarilo objaviť. Z tohoto dôvodu sme sa rozhodli upraviť si zadanie projektu a paralelizovať ľubovoľnú, paralizovateľnú, metódu na zisťovanie hranovej konektivity.

Podľa MIN-CUT MAX-FLOW [4] teorému k zisteniu hranovej konektivity  $G$  postačuje výpočítať minimálnu hodnotu všetkých maximálnych tokov z ľubovoľného uzlu do všetkých ostatných uzlov.

Zvolený paralelný algoritmus bol Edmonds Karp [2] na zisťovanie maximálneho toku v sieti.

### 3 Návrh

Graf by mal byť reprezentovaný ako zoznam susedov(ang. adjacency list).

#### 3.1 Sekvenčný algoritmus

K výberu nasledujúceho nespracovaného uzlu s najväčšou hodnotou  $r$  v procedúre Forest je potrebná binárna prioritná halda.

### 4 Implementácia

Algoritmy bolo zvolené implementovať v jazyku C++ za použitia knižnice OGDF. Pre reprezentáciu neorientovaných multigrafov bol zvolený vnútorný formát OGDF. Formát vstupných grafových súborov predpokladáme GML.

#### 4.1 Sekvenčný algoritmus

Použitá binárna halda je *ogdf::BinaryHeap*. K priraďovaniu hrán do jednotlivých množín  $E_i$  je použitá *ogdf::EdgeArray*.

#### 4.2 Paralelný algoritmus

K samotnému paralelizovaniu je použité rozhranie nástroja OpenMP vo verzií 4, ktorá je štandardnou súčasťou použitého prekladača gcc.

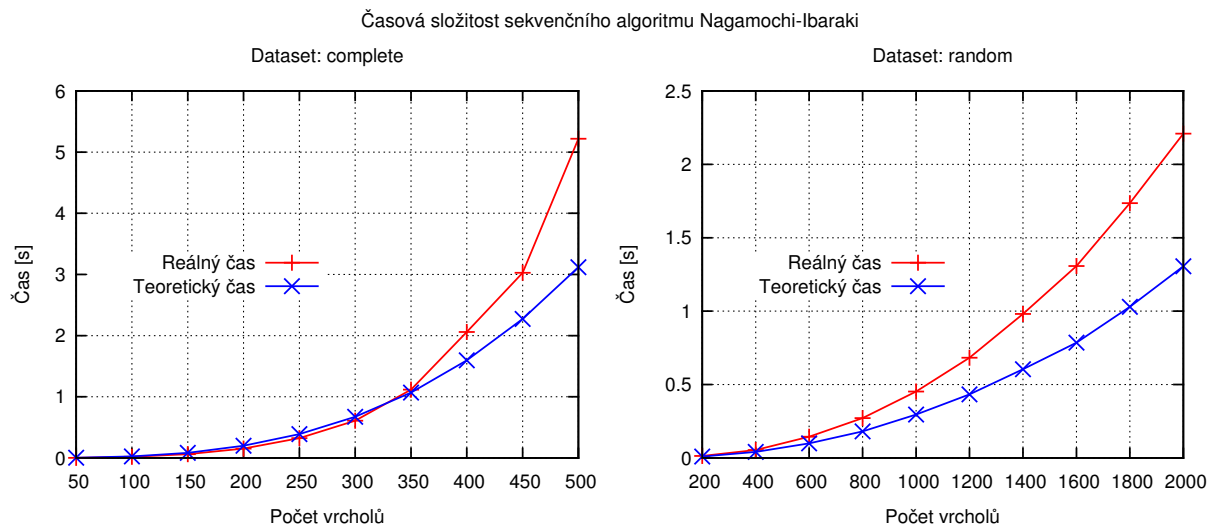
Nakoľko testovanie prebiehalo na relatívne malých grafoch, bolo stanovené jedným vláknom vykonávať desať rôznych výpočtov maximálnych tokov medzi dvoma rôznymi bodmi v grafe.

## 5 Testovanie

Testovanie implementovaných algoritmov prebiehalo na stroji edesign1.fit.vutbr.cz s procesorom Intel Xeon X5650 2.67 GHz so šiestimi jadrami. Vstupné grafy boli zvolené na úplne grafy o  $N$  uzloch a náhodne generované grafy o  $N$  uzloch a s pravdepodobnosťou  $p$  výskytu hrany medzi dvoma uzlami, pričom  $p$  je zvolené podľa modelu [3], tak aby boli vygenerované grafy celkom určite spojité.

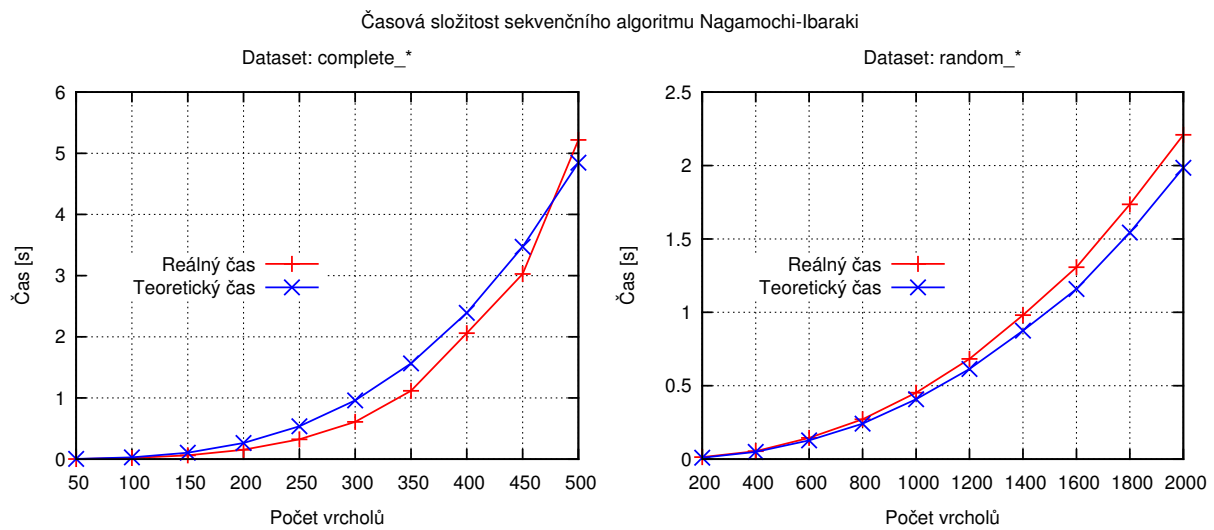
Všetky vstupné grafy boli otestované desať-krát a bol urobený priemer z nameraných časov.

### 5.1 Sekvenčný algoritmus

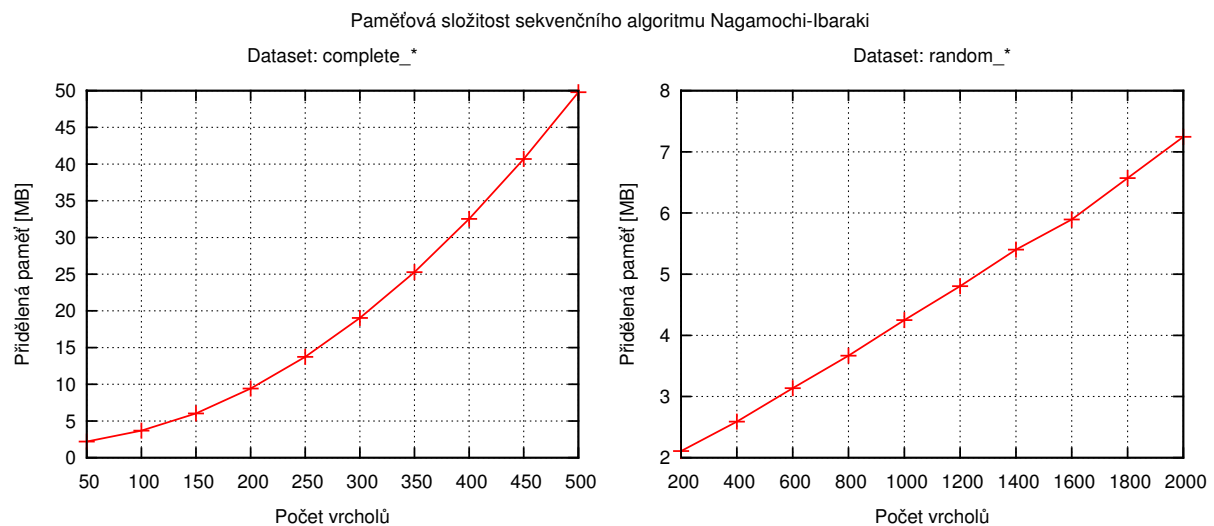


V predošlom grafe predpokladáme teoretickú zložitosť  $O(|V||E|)$ . Je zrejmé, že implementovaný algortimus pri väčších počtoch uzlov je pomašší ako teoretická zložitosť, dôvodom tohoto spomalenia je pravdepodobne použitie binárnej haldy namiesto odporúčanej Fibonacciho haldy. V implementovanom algoritme sa prírastok zložitosti algoritmu použitím binárnej haldy zväčší v operácii vložení a zmenšení hodnoty prvku v halde a to v oboch prípadoch z priemerne konštantnej časovej zložitosti na  $O(\log(|V|))$ . Z tohoto dôvodu odhadujeme priemernú časovú zložitosť implementovaného algoritmu na  $O(|V||E|\log(|V|))$ .

Nasledujúci graf predpokladá teoretickú časovú zložitosť implementovaného algoritmu  $O(|V||E|\log(|V|))$ .



Následující graf znázorňuje paměťovou náročnost implementovaného algoritmu, která je rovná  $|V| + |E|$ .

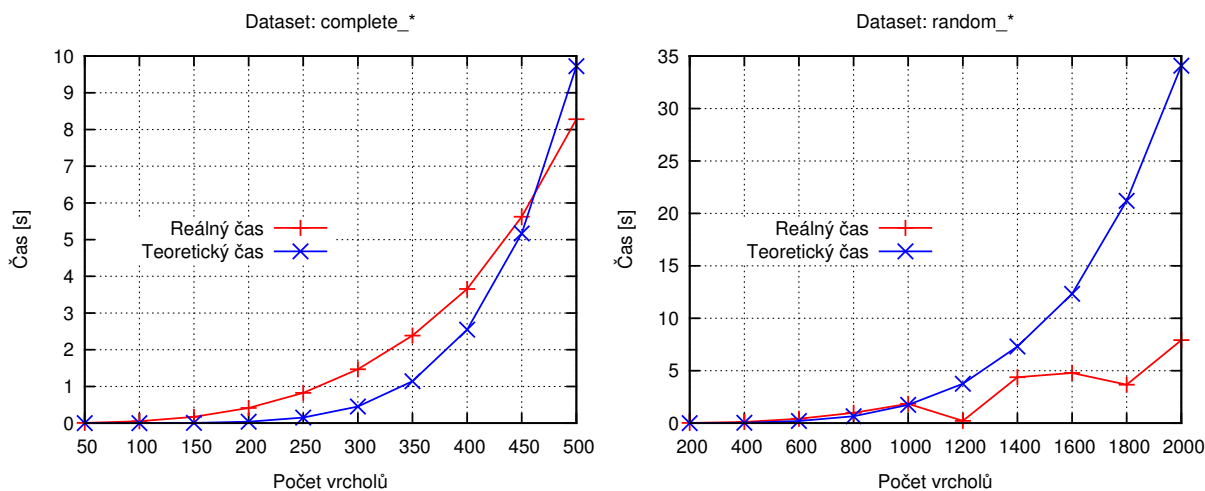


## 5.2 Paralelní algoritmus

Je zřejmé, že paralelní algoritmus závisí od počtu jader, protože je nutné volat proceduru Edmonds-Karp práce  $|V| - 1$  krát a jednotlivé volání jsou navzájem nezávislé.

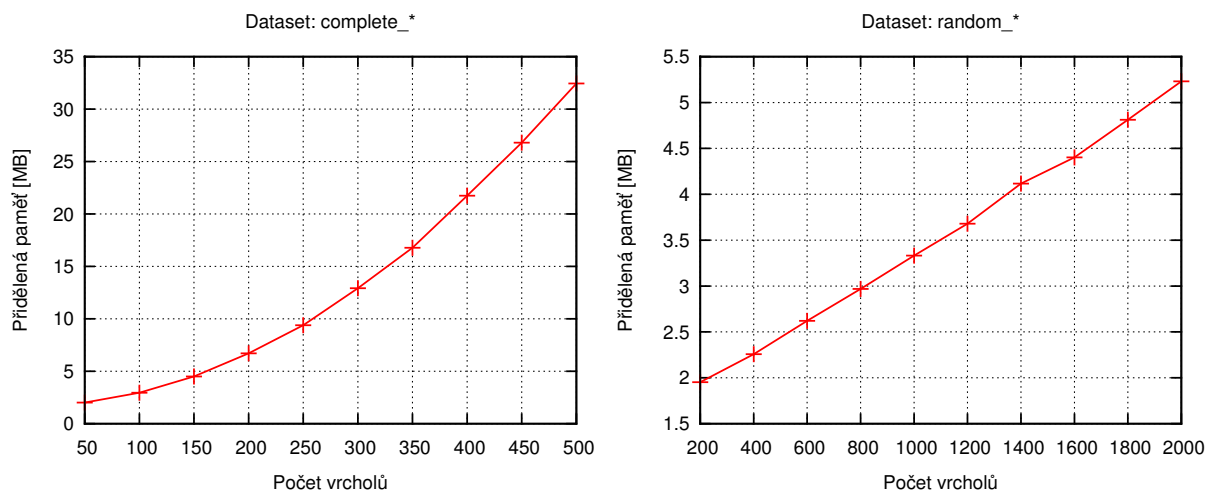
Procedura Edmonds-Karp má průměrnou časovou složitost  $O(|V||E|^2)$ . V případě, že máme k dispozici aspoň  $|V| - 1$  vláken je celková složitost implementovaného algoritmu  $O(|V||E|^2)$ . Je zřejmé, že průměrná časová složitost algoritmu je  $O(\frac{|V|^2|E|^2}{n})$ , kde  $n$  je počet vláken.

Časová složitost sekvenčního algoritmu MinMaxFlow



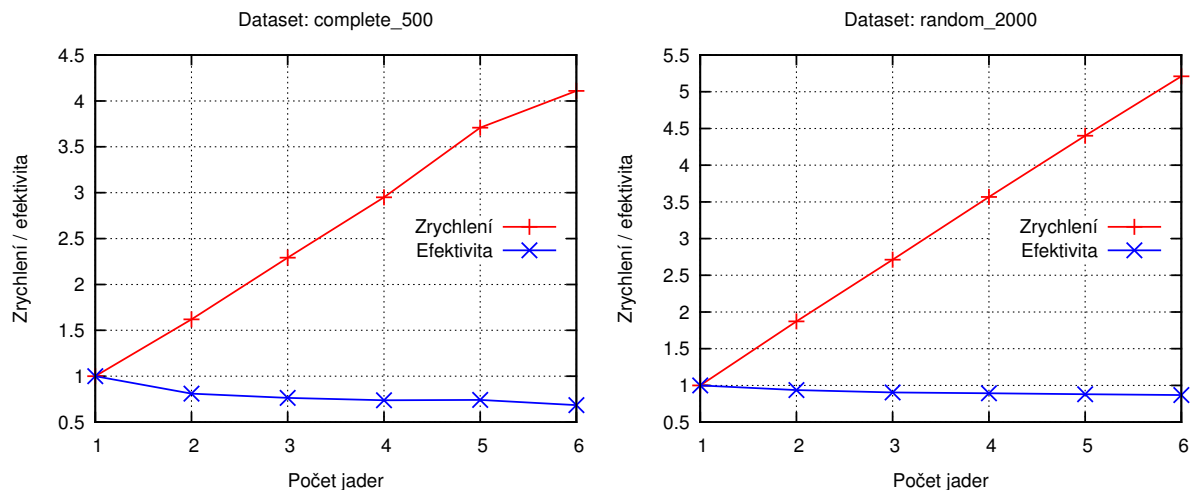
V predošlom grafe je na úplných grafoch vidieť, že implementácia Procedúra Edmonds-Karp má v priemere časovú zložitosť  $O(|V||E|^2)$ .

Paměťová složitost sekvenčního algoritmu MinMaxFlow



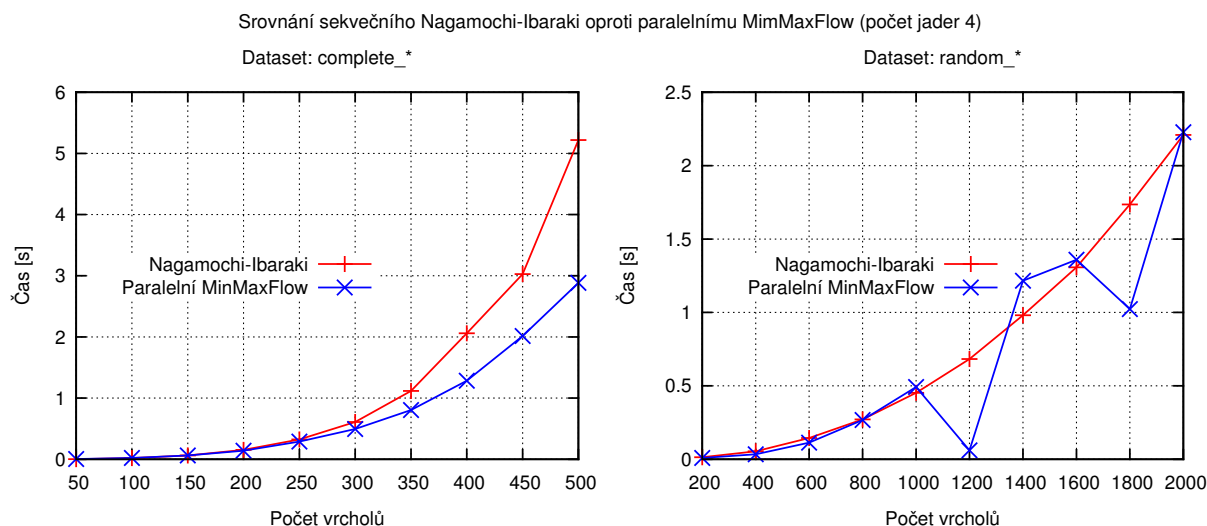
Namerá priestorová zložitosť je  $|V| + |E|$ . Nasledujúci graf znázorňuje efektivitu algoritmu.

Zrychlení a efektivita paralelní verze algoritmu MinMaxFlow





### 5.3 Porovnanie algoritmov



Z Predošlého grafu možno usúdiť, že pre dané testovacie podmienky je výhodnejšie použiť paralelný algoritmus k zisťovaniu hranovej konektivity. Pre nižší počet vlákien je pre dané testovacie podmienky, výhodnejšie použiť sekvenčný algoritmus.

### 5.4 Zdôvodnenie nameraných zložítostí

Nameraná časová zložitosť sekvenčného algoritmu je  $O(|V||E|\log(|V|))$ . Táto zložitosť sa líši od  $O(|V||E|)$  a to z dôvodu použitia binárnej haldy namiesto odporúčanej Fibbonaciho haldy.

Nameraná časová zložitosť paralelého algoritmu je  $\frac{|V|^2|E|^2}{n}$ .

Sekvenčný algoritmus má v porovnaní s paralelným väčšie pamäťové nároky, dôvodom je hlavne binárna fronta a zoznam hrán priradených do množín  $E_i$ .

## 6 Záver

V projekte sa prišlo na to, že algoritmus [1] pravdepodobne nemá priamočiaru paralelnu variantu.

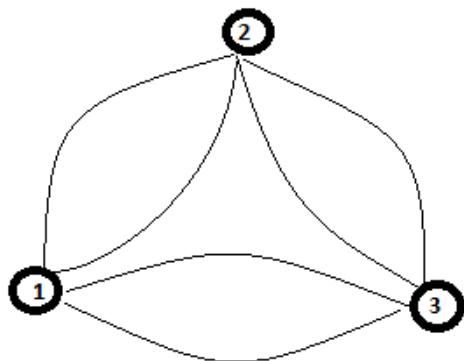
Ďalej sa v projekte testovaním overilo, že implementované algoritmy implementujú navrhnuté algoritmy.

Testovaním sa prišlo na to, že sekvenčný algoritmus môže byť vhodný použiť na zisťovanie hranovej konektivity v prípade, ak nemáme k dispozícii dostatočný počet vlákien. Testovaním sa odhaduje táto minimálna hodnota jadier

## Literatúra

- [1] H. Nagamochi, T. Ibaraki. *Computing edge-connectivity in multigraphs and capacitated graphs*, volume 5. Siam J. Discrete Math, 1992.
- [2] Wikipedia. Edmonds karp algorithm — Wikipedia, the free encyclopedia, 2014. [Online; 10-december-2014].
- [3] Wikipedia. Erdős-rényi\_model — Wikipedia, the free encyclopedia, 2014. [Online; 10-december-2014].
- [4] Wikipedia. Max-flow min-cut theorem — Wikipedia, the free encyclopedia, 2014. [Online; 10-december-2014].

## A Príklad paralelného spracovania susedných uzlov procedúrou Forest

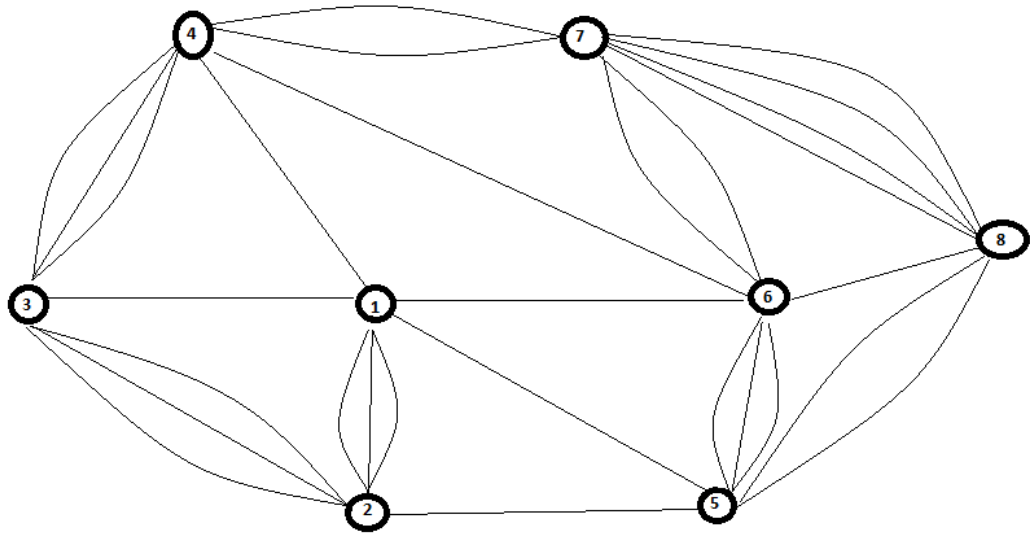


V nasledujúcom príklade predpokladáme, že procedúra Forest paralelne spracováva dva uzly. Jeden z možných priebehov vlákien je taký, že jedno vlákno spracuje uzol 1 a druhé uzol 2. V aktuálnom stave sú hodnoty  $r_i = 0$  a množiny  $E_j = \emptyset$ , pričom  $i = 1 \dots |V|$  a  $j = 1 \dots \delta(G)$ .

Oboje vlákna sa musia synchronizovať v označovaní spoločných hrán a vo zvyšovaní hodnoty  $r_3$ . V prípade, ak jedno vlákno označí jednu spoločnú hranu hodnotou 1 a druhé vlákno označí ďalšiu spoločnú hranu hodnotou 1 potom, ale  $E_4 = \emptyset$  a nieje možné vybrať hranu ku kontrakcií. (Pozn. Nenechajte sa zmiasť tým, že sa v príklade jedná o úplný graf, jedná sa len o ilustráciu toho, že daný postup paralelizácie nieje validný, existuje množstvo takýchto prípadov, ktoré vedú k prázdnej množine  $E_{\delta(G')}$ .)

Riešením je zamedzenie paralelnému číslovaní spoločných hrán.

## B Príklad paralelného spracovania nesusediacich uzlov procedúrou Forest



V nasledujúcom príklade predpokladáme paralelné spracovanie uzlov 1 a 8, pričom  $\delta(G) = 7$ . A predpokladáme hodnoty  $r_i = 0$  a množiny  $E_j = \emptyset$ , pričom  $i = 1 \dots |V|$  a  $j = 1 \dots \delta(G)$ . V tomto prípade zostane množina  $E_7 = \emptyset$  a teda nie je možné vybrať hranu ku kontrakcií.

Riešenie tohoto problému sa nám nepodarilo objaviť. Z predošlého usudzujeme, že zvolený algoritmus pravdepodobne nemá priamočiaru paralelnu variantu.